

# Исследование адиабатного истечения воды через цилиндрические каналы

АЛЕШИН В. С., КАЛАЙДА Ю. А., ФИСЕНКО В. В.

УДК 621.039.001.5

При истечении насыщенной и недогретой воды с высокими начальными параметрами через цилиндрические каналы с острыми входными кромками происходит частичное испарение жидкости по длине канала, и на выходе из канала поток является двухфазным. Исследованию адиабатного течения насыщенной воды посвящено большое число работ, в том числе обзорных [1, 2]. Однако до настоящего времени нет надежных методов оценки весовых расходов для широкого диапазона начальных параметров и недостаточно изучена общая картина течения испаряющейся воды в цилиндрических каналах. Это объясняется сложностью процессов теплопередачи и массообмена между протекающими в канале жидкой и паровой фазами и влиянием на процессы истечения различных факторов (начальных параметров, отношения  $l/d$ , где  $l$  — длина канала,  $d$  — диаметр, противодавления на выходе и т. д.).

В данной статье рассматриваются результаты исследования истечения горячей воды через цилиндрические каналы диаметром 5 и 9,53 мм с острыми входными кромками с отношением  $l/d$  от 0,5 до 18 при изменении давления  $p_1$  перед каналом истечения от 25 до 150 кгс/см<sup>2</sup> и недогреве  $\Delta t_n$  воды до насыщения 0—100° С.

Экспериментальная установка (рис. 1) состоит из водогрейной камеры емкостью 350 л, предназначенной для получения горячей воды при давлении до 150 кгс/см<sup>2</sup> и температуре до 350° С; участка истечения телескопического типа, позволяющего без демонтажа установки менять рабочие каналы; емкости для сброса истекающей среды через душирующее устройство под слой воды; системы воздуха высокого давления (ВВД) для поддержания заданного давления перед участком истечения и обеспечения его постоянства в процессе истечения.

Водогрейная камера заполнялась очищенной в специальных фильтрах водой; перед каждым опытом проводилась деаэрация воды. Перед опытами для каждого из каналов снимались гидравлические характеристики на холодной воде.

Погрешность измерения температур и давлений в водогрейной камере, на входе в канал истечения и на выходе из него была не выше  $\pm 5\%$ .

Статическое давление и температура потока по длине канала истечения измерялись при помощи зонда. Импульсное отверстие для определения давления и встроенная в зонд микротермопара позволили снять как непрерывные эпюры по длине канала, так и параметры в фиксированных точках.

Расход истекающей среды измерялся расходомерным устройством с непрерывной записью на самописце, что важно при исследовании критических режимов течения.

**Весовой расход воды.** Для определения влияния на весовые расходные характеристики начального давления  $p_1$ , степени недогрева воды до кипения  $\Delta t_n$ , отношения  $l/d$  была проведена серия опытов, в которых при прочих равных условиях менялся только один из перечисленных выше факторов. На рис. 2 приведен график зависимости отношения весового расхода к площади сечения канала от давления перед входом на участок истечения для канала с  $l/d = 0,5$  (пунктиром показаны предполагаемые весовые расходы при начальном давлении выше 150 кгс/см<sup>2</sup>). Из рис. 2 следует, что до давления 70—75 кгс/см<sup>2</sup> при любой степени недогрева экспериментальные расходные характеристики близко совпадают с гидравлическими. При давлении выше 75 кгс/см<sup>2</sup> и степени недогрева 0—50° С парообразование в потоке становится настолько интенсивным, что наличие паровой фазы замет-

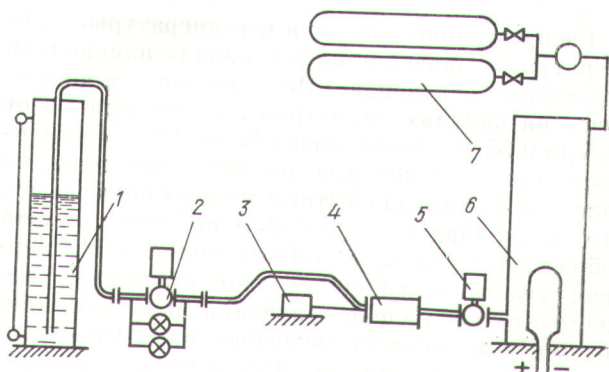


Рис. 1. Принципиальная схема установки:

1 — участок сброса; 2 — клапаны для создания противодавления; 3 — зонд; 4 — канал истечения; 5 — быстровзапорный клапан; 6 — водогрейная камера; 7 — система воздуха высокого давления (ВВД)

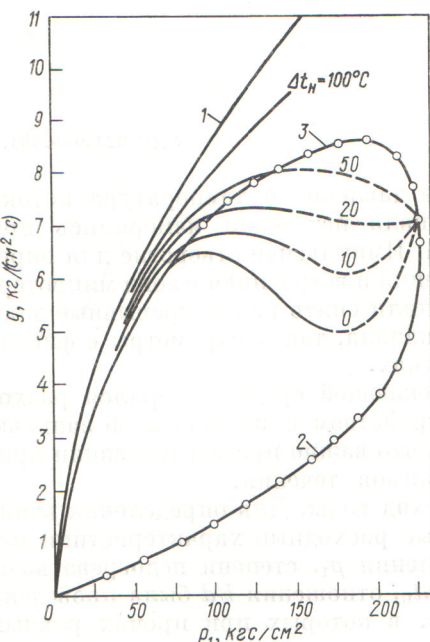


Рис. 2. Зависимость расхода потока от начального давления при различных  $\Delta t_H$  ( $d = 5$  мм,  $l/d = 0,5$ ):

1 — расход холода воды при  $t = 18^\circ\text{C}$ ; 2 — расчетный расход сухого насыщенного пара; 3 — расчетный расход насыщенной воды ( $x = 0$ )

но оказывается на уменьшении плотности потока и снижении весового расхода.

Аналогичные графики получены для весовых расходов при других отношениях  $l/d$  (0,5; 2,0; 3,0; 4,0; 5,0; 6,0; 9,0; 18,0). Из графиков следует, что с увеличением  $l/d$  отклонение экспериментальных кривых от гидравлических наступает при более низком давлении. Так, при  $l/d > 6 \div 8$  уменьшение расхода по сравнению с гидравлическим начинается при  $p \approx 25$  кгс/см<sup>2</sup>.

**Распределение давления и температуры.** Температура и давление по оси канала измерялись перемещением зонда. Исследования проводились на каналах диаметром 9,53 мм при  $l/d$  от 0,5 до 9,55. Было получено более 100 совмещенных эпюр. Некоторые из них приведены на рис. 3 и 4. Анализ опытных кривых показывает, что в каналах с  $l/d > 6 \div 8$  по длине канала образуются три характерных участка. На первом участке в районе входной кромки наблюдается резкое падение давления ниже давления насыщения, соответствующего начальной температуре, и происходит интенсивное парообразование, в результате которого температура среды падает. Некоторое запаздывание в падении температуры по сравнению со снижением давления по ходу движения воды (в частности,

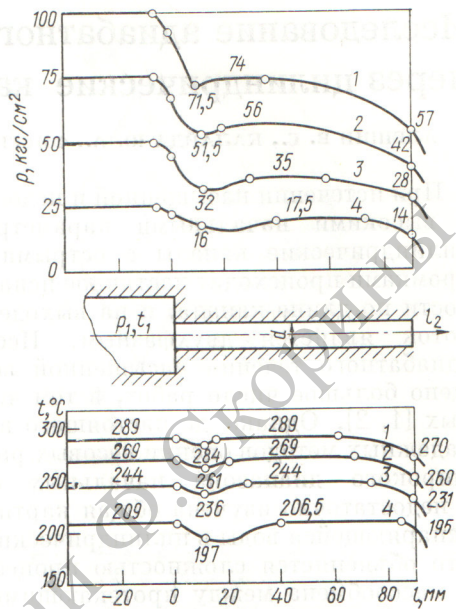


Рис. 3. Изменение параметров среды ( $p$  и  $t$ ) по длине канала при  $d = 9,53$  мм,  $l/d = 9,55$ ,  $\Delta t_H = 20^\circ\text{C}$  для различных начальных давлений  $p_1$ , кгс/см<sup>2</sup>:

1 — 100; 2 — 75; 3 — 50; 4 — 25

для насыщенной воды) указывает на возможный ее перегрев и метастабильность протекающего процесса. Затем при расширении потока за входной кромкой скорость движения потока уменьшается, давление возрастает и наблюдается процесс конденсации пара, о чем свидетельствует возрастание температуры потока.

Характер падения давления зависит от начальной температуры. Чем выше температура потока, тем меньшая доля падения давления приходится на входной участок и большая на выходную часть канала.

Заметим, что в ранее выполненных работах явление резкого падения давления и последующего его повышения у входной кромки не наблюдалось или из-за низких начальных параметров (давление менее 25 кгс/см<sup>2</sup>), или отсутствия непрерывной записи давления и температуры по длине канала.

На втором участке, участке стабилизированных параметров, в зависимости от начальных значений  $p_1$  и  $t_1$  течет либо восстановленный гидравлический поток насыщенной воды с температурой, соответствующей начальной температуре (при  $\Delta t_H > 20^\circ\text{C}$ ), либо двухфазный стабилизированный поток с температурой несколько ниже начальной (при  $\Delta t_H < 20^\circ\text{C}$ ). По мере снижения недогрева паросодержание в потоке увеличивается и достигает максимума при ист-

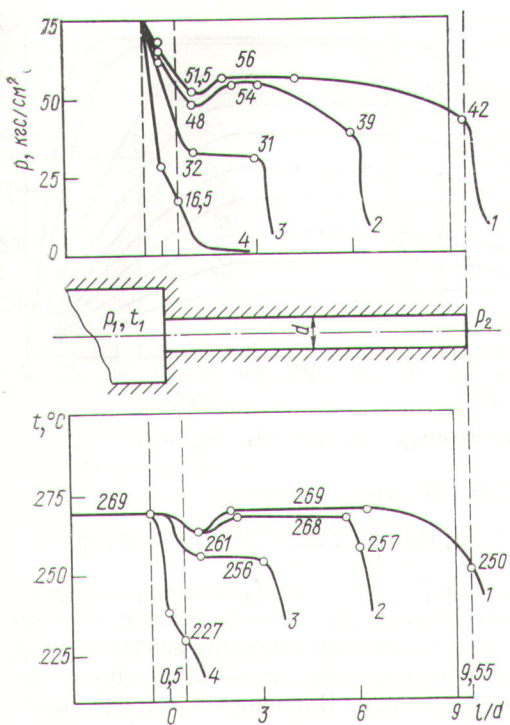


Рис. 4. Изменение параметров среды ( $p$  и  $t$ ) по длине канала при  $p_1 = 75 \text{ кгс}/\text{см}^2$ ,  $\Delta t_{\text{н}} = 20^\circ\text{C}$ ,  $d = 9,53 \text{ мм}$  для различных  $l/d$ :

1 —  $l/d = 9,55$ ; 2 —  $l/d = 6$ ; 3 —  $l/d = 3$ ; 4 —  $l/d = 0,5$

чении насыщенной воды. Участок стабилизованных параметров находится тем ближе к выходному сечению, чем ниже начальная температура воды. На третьем участке канала при подходе потока к выходной кромке вновь начинается процесс образования пара; с падением давления снижается и температура потока. На выходном участке давление падает до  $p_2$ , значение которого больше атмосферного и зависит от начальных параметров. Так, например, при увеличении  $p_1$  от 25 до 100  $\text{kgs}/\text{cm}^2$  при  $\Delta t_{\text{н}} = 20^\circ\text{C}$  давление  $p_2$  возрастает с 14 до 57  $\text{kgs}/\text{cm}^2$ , а отношение давлений  $\varepsilon = p_2/p_1$  практически остается постоянным. Из канала вытекает установившийся равновесный двухфазный поток, для которого  $\varepsilon \approx 0,55$ . С увеличением недогрева в результате уменьшения содержания паровой фазы в потоке величина  $\varepsilon$  падает. Так, при  $\Delta t_{\text{н}} = 59^\circ\text{C}$   $\varepsilon$  снижается до 0,334.

На рис. 4 показан характер изменения  $p$  и  $t$  потока по длине канала в зависимости от  $l/d$  для истечения насыщенной воды при начальном давлении 75  $\text{kgs}/\text{cm}^2$ . Характер процесса в длинных каналах с  $l/d > 6 \div 8$  описан выше. Уменьшение длины канала сопровождается

ростом метастабильности потока, возрастанием его плотности и увеличением весового расхода. Так, при  $l/d = 0,5$  в выходном сечении поток оказался перегретым на  $45^\circ\text{C}$ . В коротких каналах давление на выходе из канала падает более резко. Характерно, что и в коротких каналах при  $l/d = 3,0$  может быть участок со стабилизованными параметрами.

Из рис. 4 также следует, что падение давления по длине канала сопровождается резким снижением температуры, а следовательно, непрерывным процессом парообразования.

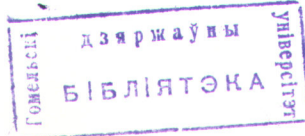
**Исследование критических режимов.** На каналах диаметром 6,4 мм при  $l/d = 0,5 \div 7,26$  и  $\Delta t_{\text{н}} = 0 \div 100^\circ\text{C}$  проведена серия опытов по исследованию критических режимов течения вскипающей воды. Начальное давление изменялось от 25 до 150  $\text{kgs}/\text{cm}^2$ . В результате обработки опытных данных были построены зависимости относительного расхода  $g_{\text{отн}} = g_{\text{пр}}/g_0$  ( $g_0$  — расход при истечении потока в атмосферу, а  $g_{\text{пр}}$  — расход при переменном противодавлении  $p_{\text{пр}}$ ) и давления у выходной кромки  $p_2$  от противодавления  $p_{\text{пр}}$ . Один из графиков приведен на рис. 5. Из него следует, что при истечении вскипающей воды переход к критическому режиму происходит плавно, давление у выходной кромки  $p_2$  при непрерывно уменьшающемся противодавлении  $p_{\text{пр}}$  плавно стремится к некоторому постоянному значению. Момент наступления кризиса течения совпадает с моментом установления в выходном срезе канала постоянного давления (начало критического режима течения показано пунктирными линиями). Это свидетельствует о том, что критическое сечение канала совпадает с выходным, а установленное отношение давления  $p_2/p_1$  является критическим.

Полученные зависимости  $p_2 = f(p_{\text{пр}})$  и  $g_{\text{отн}} = f(p_{\text{пр}})$  позволяют установить три характерные области течения вскипающей в канале воды (границы областей указаны для начального давления  $p_1 = 100 \text{ кгс}/\text{см}^2$ ).

1. Область критического режима (A). В этой области весовой расход максимальен и не зависит от противодавления.

2. Околокритическая область (B). При увеличении противодавления в этой области давление в выходном сечении монотонно возрастает, оставаясь больше, чем  $p_{\text{пр}}$ . Расход незначительно убывает.

3. Третья область (C) условно названа областью псевдогидравлического режима течения. Она наступает с момента равенства давления в выходном сечении противодавлению и сохра-



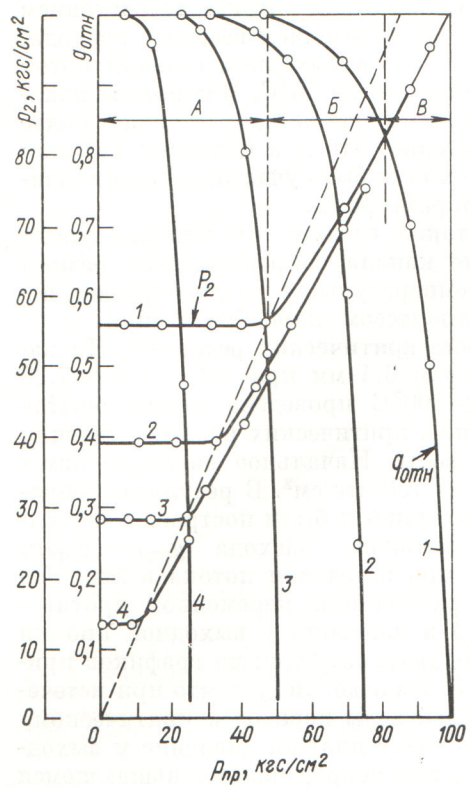


Рис. 5. Зависимость  $g_{\text{отн}}$  и  $p_2$  от противодавления  $p_{\text{пр}}$  при  $d = 6,4 \text{ мм}$ ,  $l/d = 7,26$ ,  $\Delta t_{\text{н}} = 20^\circ\text{C}$  и различных  $p_1$ , кгс/см<sup>2</sup>: 1 — 100; 2 — 75; 3 — 50; 4 — 25

няется вплоть до полного выравнивания давления ( $p_{\text{пр}} = p_1$ ). В этой области расход резко убывает и при  $p_{\text{пр}} = p_1$  равен нулю.

Проведенные опыты при неизменном  $p_1 = 75 \text{ кгс/см}^2$  и  $\Delta t_{\text{н}} = 0 \div 100^\circ\text{C}$  показали, что с увеличением  $\Delta t_{\text{н}}$  кризис расхода наступает при более низких противодавлениях, т. е.  $\varepsilon = p_2/p_1$  уменьшается.

В результате обработки многочисленных экспериментальных данных построена номограмма (рис. 6) зависимости  $\varepsilon$  от начального давления, степени недогрева воды до состояния насыщения и относительной длины канала. Пунктирными линиями показана последовательность определения  $\varepsilon$  по заданному отношению  $l/d$  и начальным  $\Delta t_{\text{н}}$  и  $p_1$ .

Обобщив опытные данные, для определения удельных весовых расходов можно рекомендовать следующие зависимости:

1. При  $l/d > 8$ ,  $\Delta t_{\text{н}} < 20^\circ\text{C}$  в выходном сечении устанавливается критическое отношение давлений, как для сухого насыщенного пара

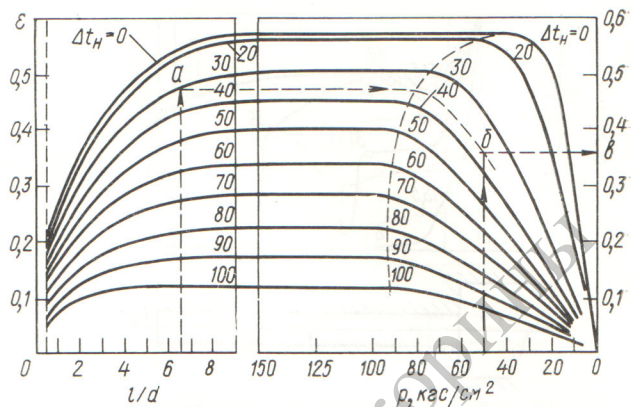


Рис. 6. Зависимость  $\varepsilon = p_2/p_1$  от  $l/d$ ,  $\Delta t_{\text{н}}$  и  $p_1$

( $\varepsilon_{\text{кр}} \approx 0,55$ ). В этом случае

$$g = 4,43 \cdot 10^{-2} \sqrt{\frac{p_1(1-\varepsilon_{\text{кр}})}{v_{\text{см}}}} \text{ кг/(см}^2 \cdot \text{с)}$$

Здесь  $v_{\text{см}} = xv_2'' + (1-x)v_2'$ , где  $v_{\text{см}}$  — удельный объем смеси;  $v_2''$ ,  $v_2'$  — удельные объемы пара и воды в выходном сечении, взятые при  $p_2$  на линии насыщения;  $x$  — паросодержание в выходном сечении. Значение  $x$  определяется выражением  $x = s'_1 - s'_2 / s''_2 - s'_2$ , где  $s'_1$ ,  $s'_2$  — энтропия воды на входе в канал и выходе из него соответственно;  $s''_2$  — энтропия пара на выходе из канала.

2. Во всех остальных случаях, когда  $\varepsilon = p_2/p_1$  в выходном сечении канала не достигает отношения  $\varepsilon_{\text{кр}}$  для сухого насыщенного пара, при расчете удельного расхода можно исходить из предположения, что течет метастабильный поток перегретой жидкости с незаконченным по длине канала процессом парообразования. Расчетная формула имеет вид

$$g = 4,43 \cdot 10^{-2} \mu_r \sqrt{\frac{p_1(1-\varepsilon)}{v_1}},$$

где  $\mu_r$  — гидравлический расходный коэффициент;  $v_1$  — удельный объем насыщенной воды, взятый при начальной температуре  $t_1$ . При использовании предложенной зависимости значение  $\varepsilon$  следует определять по исходным параметрам ( $l/d$ ,  $\Delta t_{\text{н}}$ ,  $p_1$ ) по номограмме рис. 6.

Сопоставление величин расходов, рассчитанных по предложенным зависимостям, с опытными данными показывает удовлетворительное согласие. В области исследованных параметров погрешность не превышает 10%.

Поступила в Редакцию 30/IV 1974 г.

#### СПИСОК ЛИТЕРАТУРЫ

1. Уоллес Г. Б. Одновременные двухфазные потоки. М., «Мир», 1972.
2. Fauske H. ANP-6633, 1962.